

## О ЧАСТОТНЫХ ЗАВИСИМОСТЯХ ПАРАМЕТРОВ ИНДУКЦИОННОГО РАЗРЯДА В АРГОНЕ ПРИ АТМОСФЕРНОМ ДАВЛЕНИИ

**В. Н. Сошиков, Е. С. Трехов, Ю. М. Хошев**

(Москва)

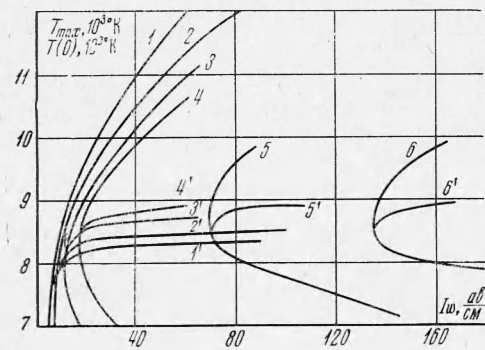
На основе численных решений задачи о стационарном индукционном разряде при атмосферном давлении при отсутствии продува газа исследуются зависимости параметров разряда от частоты возбуждающего поля.

Предпринятая в работе [1] теоретическая оценка оптимального интервала частот основана на ряде приближений (в частности, не учитывалось излучение плазмы) и

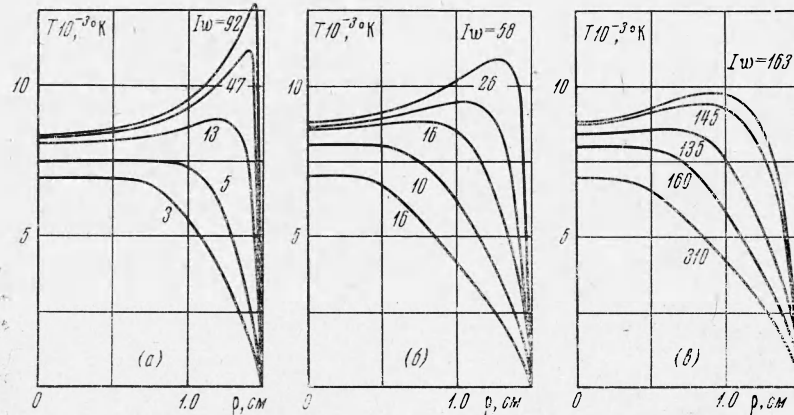
имеет, как отмечалось авторами [1], качественный характер. Оптимальная частота [1], соответствующая при заданной максимальной температуре минимуму потребляемой мощности  $W$  и числу ампер-витков на единицу длины индуктора  $Iw$ , составляла по расчетам  $35/d^2 \text{ MГц}$ , где  $d$  — диаметр трубки в см. В случае же малости толщины скин-слоя по сравнению с радиусом разрядной трубы  $\rho_0$  авторами [1] рекомендовалось простое соотношение между максимальной температурой разряда  $T_{\max}$  и  $Iw$ , не зависящее от частоты поля  $f$  и радиуса разрядной трубы  $\rho_0$ , а именно

$$\int_0^{T_{\max}} \kappa(T) \sigma(T) dT = \left( \frac{Iw}{2} \right)^2 \quad (1)$$

Здесь  $\kappa(T)$  и  $\sigma(T)$  — коэффициенты теплопроводности и электропроводности плазмы.



Фиг. 1



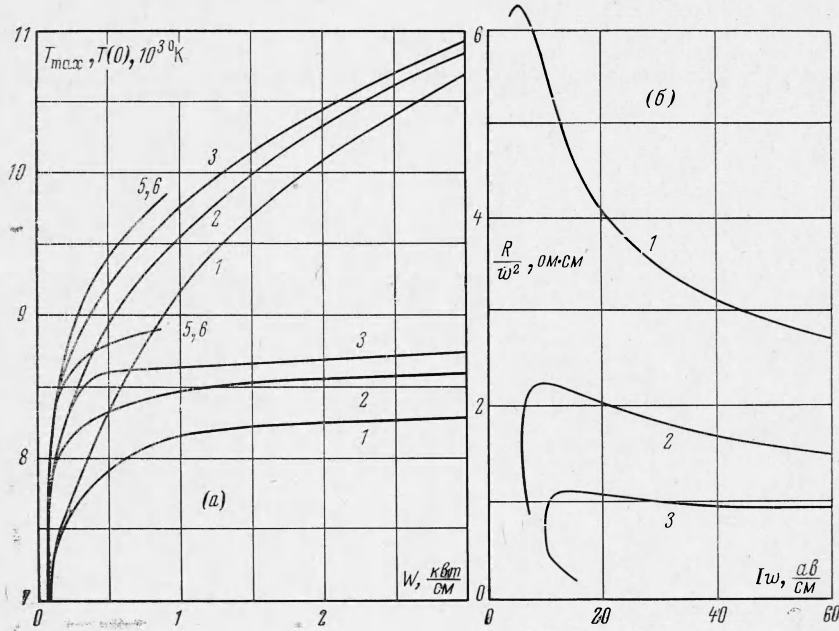
Фиг. 2

На фиг. 1—3 и в таблице приводим результаты численных расчетов для разряда в аргоне при атмосферном давлении в разрядной трубке с внутренним радиусом  $\rho_0 = 1.5 \text{ см}$ . Нумерация кривых 1, 2, 3, 4, 5, 6 соответствует значениям  $f = 100, 26, 10, 5, 1, 0.5 \text{ MГц}$ ; кривые, отмеченные на фиг. 1 цифрами со штрихом, отвечают осевой температуре; фиг. 2а, 2б, 2в соответствуют значениям частот  $f = 100, 10, 0.5 \text{ MГц}$ ; таблица соответствует осевой температуре  $T(0) = 8500^\circ \text{ К}$ .

$f$	0.5	1.0	5.0	10	26	(MГц)
$Iw$	135	68	18	16	100	(аэ/см)
$W$	0.18	0.18	0.19	0.27	13	(квт/см)
$W^*$	20	20	21	23	47	%
$\beta$	1.2	2.5	12	25	65	—

Здесь  $W_*$  — лучистые потери единицы длины разряда в процентах от полной вкладываемой мощности.

Как и в работе [2], расчет сводился к совместному решению на ЭЦВМ уравнений электромагнитного поля и энергетического баланса с учетом выхода оптически прозрачного излучения. В случае разряда в аргоне при атмосферном давлении<sup>1</sup> перенос излучения в сильно реабсорбированных участках спектра практически не сказывается на температурном распределении во внутренних областях разряда вплоть до перепадов между максимальной и осевой температурами  $\sim 2000 \div 3000^\circ\text{K}$ .



Фиг. 3

При низких частотах для поддержания напряженности поля на достаточно высоком уровне необходимо сильно увеличивать ампер-витки  $Iw$ . При высоких частотах из-за уменьшения толщины скин-слоя область максимальных плотностей токов в разряде смещается к периферии; из-за роста градиента температуры растет тепловой поток на стенку, что приводит к росту необходимой для поддержания разряда мощности. При относительно низких осевых температурах  $T(0) = 8500^\circ\text{K}$ , как следует из приведенной таблицы, оптимальный диапазон частот определяется условием  $f \approx 5 \div 10 \text{ M}Hz$ , что соответствует близким к рекомендации [1] значениям  $10 \leq \beta \leq 20$ , где

$$\beta \equiv \frac{2\rho_0^2}{\delta^2} \gg 1, \quad \delta = \frac{c}{2\pi V \sigma(T_{\max}) f}$$

где  $\rho_0$  и  $\delta$  в см,  $f$  в Гц,  $\sigma(T)$  в единицах CGSE.

В то же время с увеличением  $Iw$  и мощностей роль излучения резко возрастает, поэтому появляется отличие температуры на оси и максимальной температуры в разряде; при фиксированном  $Iw$  наблюдается также зависимость той и другой температуры от частоты, в том числе и при  $\beta \gg 1$ .

Так, при  $Iw = 60 \text{ ab/cm}$   $\beta = 200$  при  $f = 100 \text{ M}Hz$  ( $T(0) = 8330^\circ\text{K}$ ) и  $\beta = 13$  при  $f = 5 \text{ M}Hz$  ( $T(0) = 8900^\circ\text{K}$ ). Максимальные температуры  $12000$  и  $10600^\circ\text{K}$  отличаются при этом более чем на  $1000^\circ\text{K}$  (фиг. 1), однако наибольшее отличие наблюдается между  $T(0)$  и  $T_{\max}$ , что означает явную неприменимость формулы (1).

Как следует из фиг. 1, минимальное число ампер-витков на единицу длины индуктора  $(Iw)_{\min}$  довольно сильно зависит от  $f$ .

<sup>1</sup> Сошников В. Н., Трехов Е. С., Фоменко А. Ф., Хошев Ю. М. О влиянии излучения на температурный профиль индукционного разряда в аргоне при атмосферном давлении. Тезисы докладов IV Всесоюзной конференции по физике и генераторам низкотемпературной плазмы, Алма-Ата, 1970.

На фиг. 2 приведены радиальные температурные профили при различных частотах поля и значениях ампер-витков. Характерно, что даже при резко отличных частотах профиль температуры определяется практически независимо от частоты значением максимальной температуры в радиальном распределении. Отметим, что температуры, соответствующие  $(Iw)_{min}$ , весьма слабо зависят от частоты.

Как следует из фиг. 3, *a* максимальная температура независимо от частоты поля практически полностью определяется мощностью, вкладываемой в единицу длины разряда, т. е. величиной

$$W = \frac{R}{w^2} (Iw)^2$$

( $R$  — удельное активное сопротивление разряда,  $w$  — число витков на единицу длины и индуктора), а не просто квадратом числа ампер-витков, как это следует из соотношения (1).

На фиг. 3, *b* приведены зависимости активного сопротивления единицы разряда, отнесенного к квадрату числа витков индуктора на 1 см длины  $w^2$ , от ампер-витков  $Iw$  при разных частотах. Проходя при некотором значении  $Iw$  через максимум, активное сопротивление падает с ростом ампер-витков тем быстрее, чем больше частота поля. Абсолютные значения активного сопротивления падают с уменьшением частоты поля.

Приведенные зависимости могут оказаться полезными для различного рода оценок и при практическом выборе того или иного рабочего режима индукционного плазмотрона.

Поступила 2 IV 1970

#### ЛИТЕРАТУРА

1. Ровинский Р. Е., Соболев А. П. Оптимальный частотный диапазон стационарного индуцированного разряда. Термофизика высоких температур, 1968, т. 6, стр. 219.
2. Сощников В. Н., Трехов Е. С. К теории высокочастотного вихревого разряда высокого давления. I — III. Термофизика высоких температур, 1966, т. 4, стр. 166; 1966, т. 4, стр. 324; 1967, т. 5, стр. 522.

#### ИССЛЕДОВАНИЕ ПОГРАНИЧНОГО СЛОЯ С ПОМОЩЬЮ ОПТИЧЕСКОГО КВАНТОВОГО ГЕНЕРАТОРА

*И. В. Лебедев, Б. С. Ринкевичюс, Е. В. Ястrebова*

(Москва)

Рассматриваются особенности измерения скорости в пограничных слоях с помощью оптического допплеровского измерителя скорости.

Приводятся результаты для пограничных областей потоков, вращающихся в плоских вихревых камерах.

Измерения скоростей в пограничных слоях выполняются, как правило, со значительными погрешностями. Это обусловлено тем, что размеры вводимых в исследуемый пограничный слой датчиков скорости часто соизмеримы с поперечными размерами слоя. Так, согласно [1] погрешность измерений осредненных скоростей в области вязкого подслоя, выполненных термоанемометром с диаметром нити 4 мк, достигает 30%.

Значительно более перспективным для этих целей является применение оптического допплеровского измерителя скорости, использующего в качестве источника излучения оптический квантовый генератор, с помощью которого ранее изучалось распределение осредненных скоростей [2, 3]. Такой измеритель не вносит искажений в исследуемый поток и не нуждается в тарировке.

Применение оптического допплеровского измерителя скорости для исследования тонких пограничных слоев требует дальнейшего повышения пространственной разрешающей способности и точного определения координат точки измерения.

Минимальный линейный размер  $a$  в направлении измеренной скорости исследуемой области, из которой может быть получена достоверная информация, должен удов-